

## PENURUNAN *NOISE FIGURE PERFORMANCE* ( $F_N$ ) PADA HBT SI / SI<sub>1-x</sub> GE<sub>x</sub> BERDASARKAN PENGATURAN STRIPE EMITER AREA ( $A_e$ ) DAN *FRACTION MOLE* (X).

**Tossin Alamsyah<sup>1</sup>, Djoko Hartanto<sup>2</sup>, NR Puspawati<sup>3</sup>**

<sup>1</sup>Mahasiswa Program S3 Fakultas Teknik Universitas Indonesia

<sup>1</sup>Staf Pengajar Politeknik Negeri Jakarta

e-mail : [alamsyah\\_pnj@yahoo.co.id](mailto:alamsyah_pnj@yahoo.co.id)

<sup>2,3</sup>Departemen Teknik Elektro Fakultas Teknik Universitas Indonesia.

### **ABSTRACT**

*Paper ini membahas pengaruh perubahan stripe emiter area ( $A_e$ ) dan fraction mole (x) terhadap unjuk kerja HBT SiGe antara lain Resistensi parasitis  $R_B$  dan  $R_C$ ,  $f_T$ ,  $f_{maks}$ , current gain ( $\beta$ ) serta noise figure ( $F_n$ ), model dikembangkan dari HBT SiGe IBM generasi kedua dengan  $A_e 0,18 \times 10 \mu\text{m}^2$ . Saat  $A_e$  diturunkan menjadi  $A_e 0,12 \times 10 \mu\text{m}^2$  dan  $A_e 0,09 \times 10 \mu\text{m}^2$  dan fraction mole (x) dinaikkan menjadi dua kali (2) maka parameter  $R_B$ , dan  $\beta$  mempunyai relasi positif sedangkan  $R_C$ ,  $f_T$ ,  $f_{maks}$  negatif terhadap perubahan tersebut. Model HBT SiGe dengan x: 0.1 dan  $A_e:0,18 \times 10 \mu\text{m}^2$  mempunyai nilai  $F_n$  minimum terendah dibanding dengan  $A_e 0,12 \times 10 \mu\text{m}^2$  dan  $0,09 \times 10 \mu\text{m}^2$  yaitu 0.57 dB , 0.64 dB, 0.69 dB. Jika nilai fraction mole (x) diturunkan 50% , menyebabkan kenaikan  $F_n$  yang tidak linier yaitu 77%, 79% dan 89% dari nilai semula. Relasi noise figure ( $F_n$ ) dengan stripe emiter area ( $A_e$ ) dan fraction mole (x) diekspresikan dengan relasi berikut ;  $F_n \equiv k_o / A_e \cdot x$  , jadi noise figure ( $F_n$ ) dapat diperkecil dengan memperarea stripe emiter area ( $A_e$ ) dan menaikkan fraction mole (x).*

**Kata kunci :** Noise Figure ( $F_n$ ), stripe emiter area ( $A_e$ ), fraction mole (x), SiGe HBT

### **ABSTRAK**

*Paper ini membahas pengaruh perubahan stripe emiter area ( $A_e$ ) dan fraction mole (x) terhadap unjuk kerja HBT SiGe antara lain Resistensi parasitis  $R_B$  dan  $R_C$ ,  $f_T$ ,  $f_{maks}$ , current gain ( $\beta$ ) serta noise figure ( $F_n$ ), model dikembangkan dari HBT SiGe IBM generasi kedua dengan  $A_e 0,18 \times 10 \mu\text{m}^2$ . Saat  $A_e$  diturunkan menjadi  $A_e 0,12 \times 10 \mu\text{m}^2$  dan  $A_e 0,09 \times 10 \mu\text{m}^2$  dan fraction mole (x) dinaikkan menjadi dua kali (2) maka parameter  $R_B$ , dan  $\beta$  mempunyai relasi positif sedangkan  $R_C$ ,  $f_T$ ,  $f_{maks}$  negatif terhadap perubahan tersebut. Model HBT SiGe dengan x: 0.1 dan  $A_e:0,18 \times 10 \mu\text{m}^2$  mempunyai nilai  $F_n$  minimum terendah dibanding dengan  $A_e 0,12 \times 10 \mu\text{m}^2$  dan  $0,09 \times 10 \mu\text{m}^2$  yaitu 0.57 dB , 0.64 dB, 0.69 dB. Jika nilai fraction mole (x) diturunkan 50% , menyebabkan kenaikan  $F_n$  yang tidak linier yaitu 77%, 79% dan 89% dari nilai semula. Relasi noise figure ( $F_n$ ) dengan stripe emiter area ( $A_e$ ) dan fraction mole (x) diekspresikan dengan relasi berikut ;  $F_n \equiv k_o / A_e \cdot x$  , jadi noise figure ( $F_n$ ) dapat diperkecil dengan memperarea stripe emiter area ( $A_e$ ) dan menaikkan fraction mole (x).*

**Kata kunci :** Noise Figure ( $F_n$ ), stripe emiter area ( $A_e$ ), fraction mole (x), SiGe HBT

### **PENDAHULUAN.**

Konsep heterojunction bipolar transistor (HBT) ditawarkan oleh Shockley dan Kromer [1] konsep ini merupakan suatu lompatan dalam perkembangan teknologi material semikonduktor, khususnya pada perkembangan komponen Transistor Bipolar. Tahun 1989, IBM telah mengembangkan heterojunction bipolar transistor (HBT) Silikon dan Germanium

(SiGe) yang mencapai kecepatan hingga 210 GHz dengan kebutuhan arus listrik sebesar 1mA.[2] Hal ini terjadi karena adanya perubahan sifat fisis dan mekanisme material sehingga perilaku kecepatan arus listrik berubah, basis yang tersusun material Silikon dan Germanium mengakibatkan adanya perubahan energi bandgap ( $\Delta E_g$ ). Besarnya Energi

Bandgap ( $\Delta E_g$ ) ini disebabkan oleh *fraction mole(x)* Ge pada Si dan *Doping Concentration* pada basis. [3]

Teknologi epitaksi modern untuk SiGe seperti MBE (*Molecular Beam Epitaxy*), UHV/CVD (*Ultra High Vacuum / Chemical Vapor Deposition*) dan LPCVD (*Low Pressure Chemical Vapor Deposition*) memungkinkan pengaturan profil doping dan komposisi Ge yang bervariasi pada sisi basis HBT sehingga dapat dirancang HBT SiGe yang memberikan penguatan arus, frekuensi *threshold* ( $f_T$ ) dan frekuensi osilasi maksimum ( $f_{\max}$ ) yang tinggi serta *minimum noise figure* yang rendah.

Beberapa tahun ini perkembangan teknologi SiGe heterojunction bipolar transistor (HBT) ini sungguh progressive, beberapa vendor mengembangkan divais HBT SiGe yang bekerja pada  $f_T$ , dan  $f_{\max}$ , diatas 100GHz atau lebih, ini didukung dengan kemajuan teknologi lithografi. [4]. Generasi kedua HBT SiGe yang dikembangkan oleh IBM bekerja pada  $f_T$  sekitar 80 GHz, dengan lithografi  $0.18\mu\text{m}$  dan generasi ketiga  $f_T$  maksimum hampir 200 GHz, dengan lithografi  $0.12\mu\text{m}$ . HBT SiGe dengan unjuk kerja  $f_T$  dan  $f_{\max}$ , *current gain* yang tinggi dapat diperoleh dengan pengontrolan *fraction mole* (x) dan area basis, pengontrolan polycristalin,[5] pengontrolan lengan emiter  $A_e$ . [6]

### a) Energi bandgap pada HBT SiGe (Silikon Germanium).

Dua(2) pola sambungan pada heterojunction yaitu abrupt dan graded junction, kedua pola ini terjadi karena bentuk sebaran *mole fraction* (x) yang berbeda. Sebaran *mole fraction* (x) *abrupt junction* sifatnya *uniform* disetiap luasan sambungan sedangkan untuk *graded junction* berbeda disetiap luasan sambungan. Pada material  $\text{Si}_{1-x}\text{Ge}_x$ , penambahan Ge pada Si menyebabkan terjadinya penyempitan celah pita energi, besarnya celah pita energi ini dipengaruhi

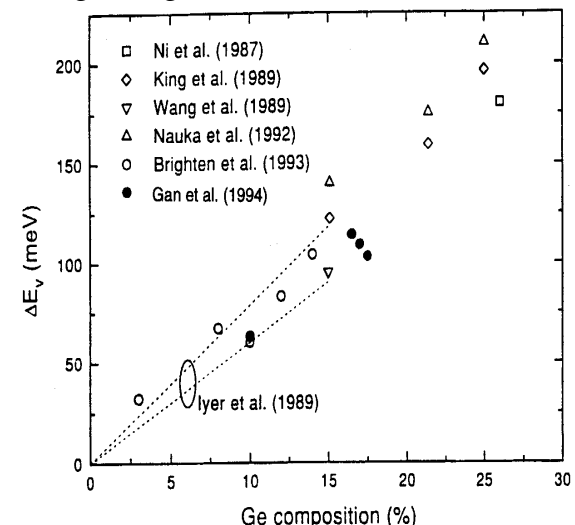
oleh banyaknya fraksi Ge yang digunakan seperti dinyatakan oleh Persamaan 1, sebagai model matematika dari  $\Delta E_{g,Ge}$ . Penyempitan celah pita energi akibat penambahan fraksi dan berlaku untuk nilai fraksi mole (x) kecil.[7] Selain terjadi penambahan Ge pada Si, bandgap energi ( $E_{g,HD}$ ) pada bahan SiGe juga terjadi dipengaruhi oleh konsentrasi *Doping* tinggi pada basis ( $N_B$ ) (*heavy doping*). Model penyempitan celah pita energi akibat konsentrasi *doping* ini dikespresikan sesuai Persamaan 2 [8], sehingga energi bandgap total ( $\Delta E_g$ ) sesuai Persamaan 3. [9]

$$\Delta E_{g,Ge} = 0,74x \quad (1)$$

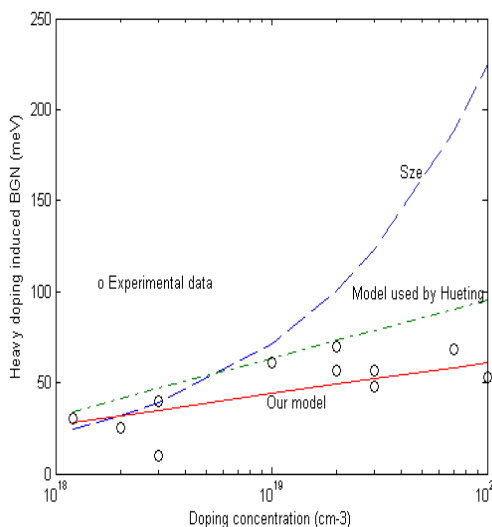
$$\Delta E_{g,HD}(N) = E_1 \left\{ \ln \left( \frac{N}{N_{ref}} \right) + \sqrt{\left[ \ln \left( \frac{N}{N_{ref}} \right) \right]^2 + C} \right\} \quad (2)$$

$$\Delta E_g = \Delta E_{g,Ge} + \Delta E_{g,HD}(N) \quad (3)$$

Pada Gambar 1(a) dan 1(b) diperlihatkan data eksperimen yang menunjukkan besarnya diskontinuitas pada pita valensi sebagai fungsi fraksi Ge.



Gambar 1(a) Energi bandgap  $\Delta E_{g,Ge}$  vs fraksi mole Ge (x) [9]



Gambar 1(b) Energi Bandgap( $\Delta E_{g,HD}$ ) vs Doping Konsentrasi [10]

### b) Densitas Arus Kolektor (Jc)

Dengan memperhitungkan pengaruh rekombinasi, densitas arus kolektor ( $J_C$ ) dapat dinyatakan dengan Persamaan 4,5 dan 6.  $D_{nB}$  adalah konstanta difusi elektron pada basis untuk basis pendek (*short base*) dengan *doping* merata, [11] [12], Besarnya densitas arus kolektor pada HBT SiGe dipengaruhi oleh energi bandgap total ( $\Delta E_g$ ), sehingga *current gain* ( $\beta$ ) dinyatakan Persamaan 6. [13]:

$$J_{B,dif} = -\frac{qD_{pE}n_i^2}{N_E w_e} \left\{ \exp\left(\frac{qV_{BE}}{kT}\right) - 1 \right\} \quad (4)$$

$$J_{C,HBT} = \frac{qD_{nB}n_i^2 e^{(\Delta E_{g,HD} + \Delta E_{g,Ge})/kT}}{N_B W_b} \left\{ \exp\left(\frac{qV_{BE}}{kT}\right) - 1 \right\} \quad (5)$$

Dengan demikian maka *current Gain* ( $\beta$ )

$$\beta_{SiGe} = \frac{N_{DE}w_e D_{nb}}{N_{AB}w_B D_{pe}} \exp(\Delta E_g / kT) \quad (6)$$

### c) Resistansi kolektor ( $R_C$ ), basis ( $R_B$ )

Model HBT SiGe yang dikembangkan oleh M.W. Hsieh 2006 [14], mempunyai dua (2) terminal base, dan satu (1) terminal emitter dan kolektor. HBT SiGe model dengan dua(2) terminal basis mempunyai Resistansi Basis dan Emiter yang lebih kecil, dibanding dengan HBT dengan satu (1) terminal basis. dengan demikian maka *Noise*

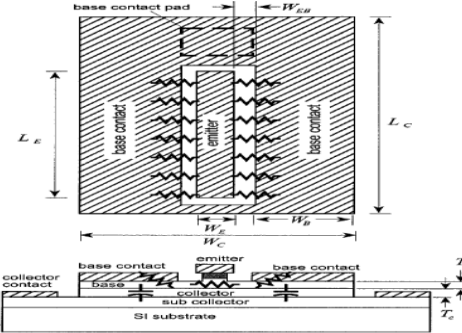
*Figure Minimum ( $F_{min}$ )* HBT dengan dua(2) terminal basis akan lebih rendah. Gambar 2a dan 2b menunjukkan *layout* Lateral dan Vertikal dari Model HBT SiGe. Resistansi basis ( $R_B$  atau  $R_{bb}$ ) merupakan penjumlahan dari resistansi kontak  $R_{b,cont}$ , Resistansi *base-emitter gap*  $R_{gap}$  an Resistansi *spreading* dibawah emiter  $R_{spread}$ , dengan demikian Resistansi basis sesuai dengan Persamaan 7.[14] Untuk selanjutnya nilai  $R_C$  dan  $R_B$  atau  $r_{bb}$  dapat ditentukan berdasarkan Persamaan 8 [15],

$$R_{bb} = R_{b,cont} + R_{gap} + R_{spread} \quad (7)$$

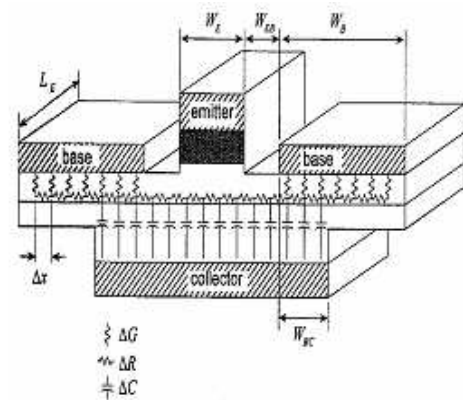
Yang mana  $R_{b,cont} = \sqrt{\rho_a \rho_c / 2L_e}$  ..,  $R_{gap} = \rho_a W_{eb} / 2L_e$  dan  $R_{spread} = \rho_a W_c / 12L_c$

$$R_C = \rho_c / L_e W_{e,contact} + \rho_{cap} T_{cap} / L_e W_{e,contact} + \rho_{C2} T_{C2} / L_c W_{C,junct} + \rho_{Cl} T_{Cl} / L_c W_c$$

(8)



Gambar. 2a Cross section Lateral Model HBT SiGe.[15]



Gambar. 2b Cross section Vertikal Model HBT SiGe.[15]

**d) Frekuensi treshold (  $f_T$  ) dan Noise Figure (  $F_n$  ) atau  $F_{min}$**

Frekuensi Treshold ( $f_T$ ) adalah frekuensi transisi pada saat terjadi penurunan -3dB dari *gain voltage* atau *current gain* ( $\beta$ ), arus kolektor ( $I_c$ ),  $f_T$  dapat juga dinyatakan sebagai *emitter-collector transit time* yang diekspresikan dengan Persamaan 9a [6],  $\tau_E, \tau_B, \tau_{RC}$  dan  $\tau_{C,SCR}$  adalah waktu *discharging* yang dibutuhkan dari kelebihan elektron dari basis melalui sambungan kolektor dan  $R_E = \frac{kT}{qJ_e}$ ,  $R_E$ ,

dan  $R_C$  Resistansi parasitic pada Emitor dan Kolektor serta  $C_{BC}$  kapasitansi olektor basis, hubungan antara  $f_T$ ,  $f_{max}$  dan  $R_B$  atau  $r_{bb}$  sesuai Persamaan 7 dan 8. [14] Dari Persamaan 10 diketahui bahwa  $f_{maks}$  berbanding terbalik dengan  $R_B$  Resistansi basis dan  $C_{bc}$  Kapasitansi basis Kolektor dan berbanding lurus terhadap  $f_T$ . Pada divais frekuensi tinggi khususnya RF circuit *noise* merupakan hal penting, pada frekuensi tinggi *noise factor* dapat dihitung dengan pendekatan *black box small signal* model dengan berdasar parameter  $y_{11}, y_{12}, y_{21}$  dan  $y_{22}$ . Penurunan persamaan *Noise Figure* diturunkan berdasarkan nilai  $R_B$ ,  $R_C$ , *Current Gain* ( $\beta$ ) dan frekuensi *teshold* ( $f_T$ ). Dengan menggunakan pendekatan lain *Noise Figure factor* ( $NF_{min}$ ) dapat digunakan Persamaan 11 dan *Noise Figure minimum* ( $F_{min}$ ) sesuai Persamaan 12.[8][16]

$$\text{dengan } \tau_E = (C_{jc} + C_{je}) \frac{nkT}{qI_c},$$

$$\tau_B = \frac{X_B^2}{2D}, \tau_{RC} = (R_E + R_C)C_{JC} \\ \tau_{EC} = \tau_{tot} = \frac{1}{2\pi f_T} = \tau_E + \tau_B + \tau_{RC} + \tau_{C,SCR} \quad (9)$$

$$R_E = \frac{kT}{qJ_e} \\ f_{maks} = \sqrt{\frac{f_T}{8R_B C_{BC}}}, \quad (10)$$

$$\tau_B = R_B C_{BC} = \frac{f_T}{8f_{maks}^2} \quad (11)$$

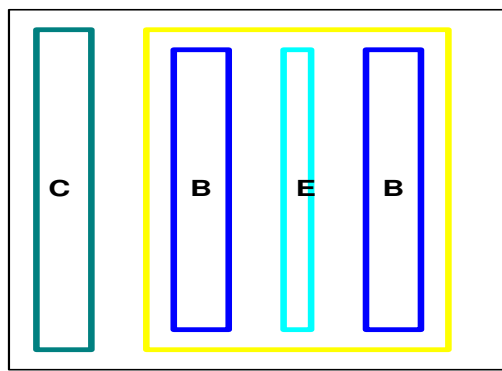
$$F_{min} = 1 + \frac{1}{\beta} + \sqrt{2 \frac{qI_c}{kT} R_B \left( \frac{f^2}{f_T^2} + \frac{1}{\beta} \right)} + \frac{1}{\beta} \quad (12)$$

## 2. METODOLOGI.

Metode penelitian yang dilakukan dibuat pemodelan berdasarkan rancangan HBT SiGe IBM generasi kedua dengan area stipe emitter  $0.18\mu\text{m}$  dengan  $f_T$  maksimum sekitar 84 GHz . Tools pemodelan yang digunakan adalah software *Bipole3G* yang dikembangkan oleh BIPSIM Inc. Program simulator dapat mensimulasikan *terminal electrical characteristics* dari material *silicon* atau *silicon-germanium*.

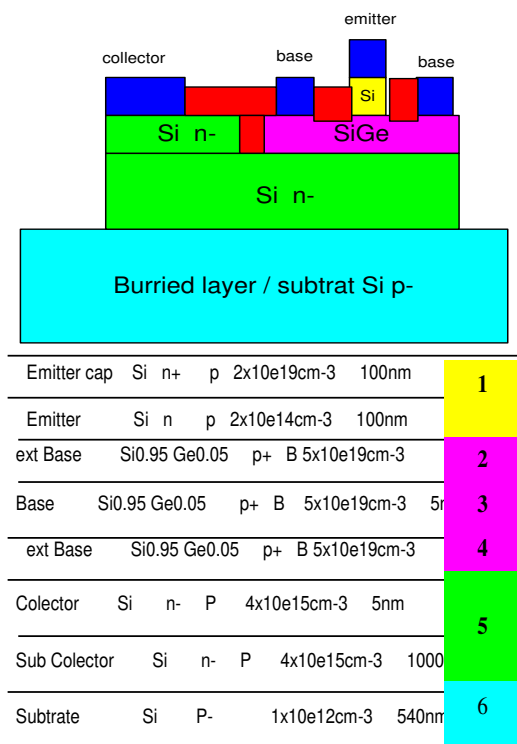
Software ini dirancang khusus untuk BJTs dan HBTs serta beberapa rancangan terbatas untuk MOSFETs, [17] software ini dapat memberikan informasi mengenai *geometry lay out* devais dan beberapa karakter *impurity elektron*. Dalam artikel ini dibahas peningkatan unjuk kerja HBT SiGe jika area *stripe smiter* ( $A_e$ ) diperkecil dari  $0.18 \times 10 \mu\text{m}^2$  menjadi  $0.12 \times 10 \mu\text{m}^2$  kemudian  $0.09 \times 10 \mu\text{m}^2$ , dengan *fraction mole* ( $x$ ) dinaikkan dari 0.05 menjadi 1, dengan demikian model HBT yang akan dianalisa diberi nama file; 009asli, 012asli dan 018asli untuk *fraction mole* ( $x$ ) 0,005. dan 009asli\_ge10, 012asli\_ge10 dan 018asli\_ge10 dengan *fraction mole* ( $x$ ) 0.1. Pertama parameter yang diamati adalah Resistansi Basis dan Kolektor ( $R_B$  dan  $R_C$ ), *Current Gain* ( $\beta$ ), frekuensi treshold ( $f_T$ ) dan *Noise figure minimum* ( $F_{min}$ ).

Gambar 3(a) dan 3(b) menunjukkan layout geometri lateral dan vertikal dari model HBT SiGe dianalisa. Lay out ini diuji dengan Software Bipole3, dari hasil pengujian, model ini menghasilkan terminal output karakteristik dengan deviasi sekitar 7 % jika dibandingkan dengan HBT generasi kedua yang dikembangkan oleh IBM.



Length B, E diffusion length	10.e-4
<b>Stripe Emitter width</b>	<b>0.18.e-4</b>
Width of base contact	0.2e-4
Width of collector contact diffusion	0.54e-4
Distance between the buried layer edge(after sideway diffusion) to the collector diffusion edge	0.54e-4
Width of diffusion base	1.1e-4

Gambar. 3a Layout Lateral Model HBT SiGe.



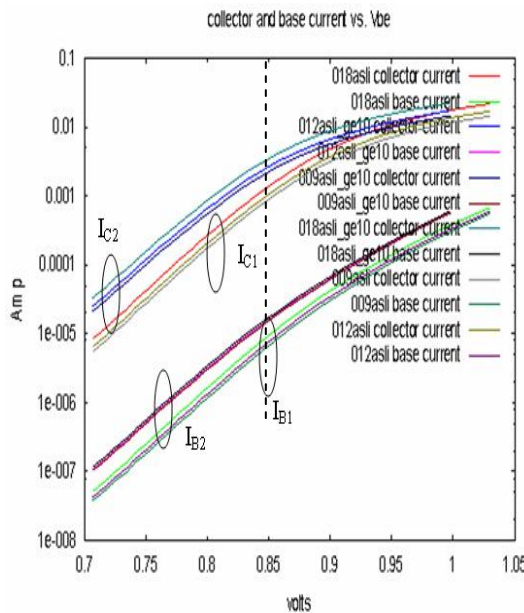
Gambar. 3b Layout Vertical Model HBT SiGe.

## HASIL DAN PEMBAHASAN.

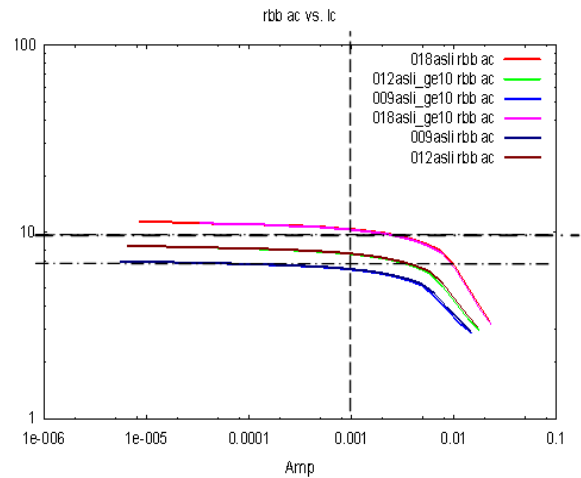
Pengaturan area *stripe* emitter ( $A_e$ ) arah lateral dilakukan dengan cara memperkecil *stripe* emiter dari  $0.18 \times 10 \mu\text{m}^2$  menjadi  $0.12 \times 10 \mu\text{m}^2$  dan  $0.09 \times 10 \mu\text{m}^2$  kemudian pengaturan *fraction mole* ( $x$ ) dinaikkan dari 0.05 menjadi 1, hasilnya menunjukkan perubahan area *stripe* emiter  $A_e$  tidak mempengaruhi *energi bandgap* yang bernilai 0.12 eV. Tetapi untuk perubahan *fraction mole* ( $x$ ) dari 1 menjadi 0.8, 0.5 dan 0.3 terjadi perubahan pada *energi bandgap* yaitu 0.16, 0.14, 0.12, 0.11 eV.

Gambar 4 menunjukkan rasio  $J_{C,\text{HBT}}$  dan  $J_{B,\text{HBT}}$  dengan perubahan *fraction mole* ( $x$ ) dari 0.05 sampai 0.2 perubahan ini akan berpengaruh konsentrasi pembawa muatan pada SiGe besar  $n_{\text{SiGe}}$  sebanding dengan *fraction mole* ( $x$ ), hal ini terjadi karena adanya kenaikan energi bandgap ( $E_g$ ) dan sesuaia dengan persamaan 5 diatas. Untuk  $V_{BE}$  0.65 volt dengan  $A_e$ ,  $0.18 \times 10 \mu\text{m}^2$ ,  $0.12 \times 10 \mu\text{m}^2$  dan  $0.09 \times 10 \mu\text{m}^2$  dengan *fraction mole* ( $x$ ) 0.05 menghasilkan  $I_C$  [5] 8,5mA, 6,5 mA dan 5,5 mA. Dan *mole fraction* ( $x$ ) dinaikkan menjadi 2 kali maka nilai  $I_C$  menjadi 335 mA, 225 mA dan 215 mA. Tetapi untuk nilai  $I_B$  relatif sama yaitu 5 mA, untuk *mole fraction* ( $x$ ) 0.05 dan 11 mA untuk *mole fraction* ( $x$ ) 0.01. Relasi antara  $I_C$ , dengan *mole fraction* ( $x$ ) adalah ;

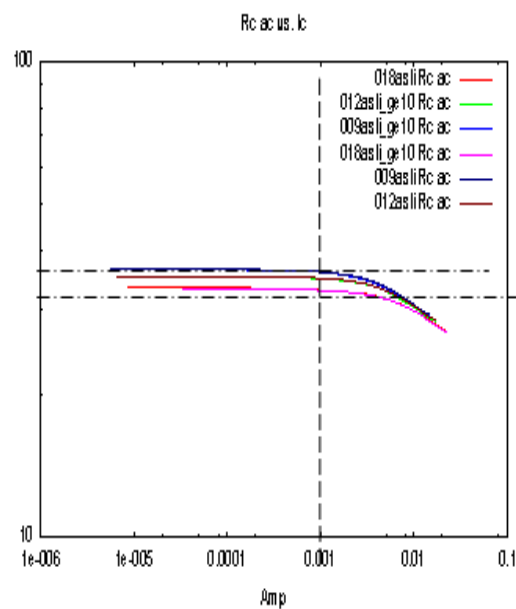
$$I_C \approx k.F(x, A_e)_{V_{BE,\text{Konstan}}}$$



Gambar 4 . Arus kolektor dan basis vs  $V_{BE}$



Gambar 5(a). Resistansi basis ( $R_B$ ) vs  $I_C$



Gambar 5(b). Resistansi Kolektor ( $R_C$ ) vs  $I_C$

**a) Pengaruh area stripe emiter ( $A_e$ ) dan mole fraction ( $x$ ), Resistansi Basis ( $R_B$ ) dan Kolektor ( $R_C$ ).**

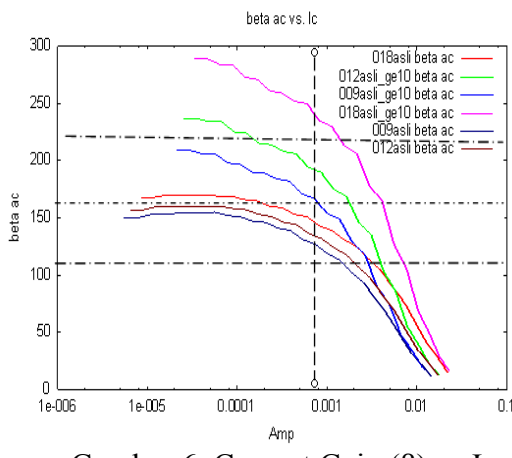
Pengaturan area *stripe emitter* ( $A_e$ ) arah lateral dilakukan dengan cara memperkecil *stripe* emiter diturunkan dari  $0.18 \mu\text{m}$  menjadi  $0.12 \mu\text{m}$  dan  $0.09 \mu\text{m}$ , maka Resistansi basis ( $R_B$ ) bernilai 10, 7 dan 6 ohm dan Resistansi kolektor ( $R_C$ ) naik dari 45 ohm, 52 ohm dan 58 ohm kedaan ini diambil saat arus  $I_C$  0.001 A. Jadi  $R_B$  dan  $R_C$  tidak terpengaruh oleh kenaikan mole fraction ( $x$ ) yang diubah dari 0.05 menjadi 0.1. Dengan demikian fungsi perubahan *stripe emitter area* ( $A_e$ ) terhadap  $R_B$  dan  $R_C$  dapat dituliskan sebagai berikut ;  $A_e \approx k_0 \cdot F \left( \frac{R_B}{R_C} \right)_{I_C, \text{konstan}}$ .

Gambar 5(a) dan 5(b) menunjukkan hubungan antara  $I_C$  vs  $R_B$ , dan  $R_C$ .

**b) Pengaruh area stripe emiter ( $A_e$ ) dan mole fraction ( $x$ ) pada current gain ( $\beta$ ).**

Perubahan area *stripe* emiter ( $A_e$ ) akan berbanding langsung terhadap nilai current gain ( $\beta$ ), pada saat  $A_e 0.18 \times 10 \mu\text{m}^2$ ,  $0.12 \times 10 \mu\text{m}^2$  dan  $0.09 \times 10 \mu\text{m}^2$  serta mole fration ( $x$ ) 0.05 , current gain ( $\beta$ ) bernilai 140 ,130 dan 120 pada saat  $I_C$  0.001A. Kemudian ketika mole fraction ( $x$ ) dinaikkan menjadi 0.1 (2 kalinya ) maka Current gain ( $\beta$ ) naik menjadi 245, 205 dan 180 hal ini sesuai dengan Persamaan 6 di atas , Current gain ( $\beta$ ) naik jika mole fraction ( $x$ ) naik karena bertambahnya bilangan konstanta

$(\Delta E_g / kT)$ . Hubungan antara area *stripe emitter* ( $A_e$ ) dengan *current gain* ( $\beta$ ) sebagai berikut;  $\beta \approx k.F(A_e \cdot x)$  saat  $I_C$  konstan relasi antara current gain ( $\beta$ ) dengan arus kolektor ( $I_C$ ) untuk nilai  $A_e$  dan *mole fraction* yang bervariasi, ditunjukkan Gambar 6.



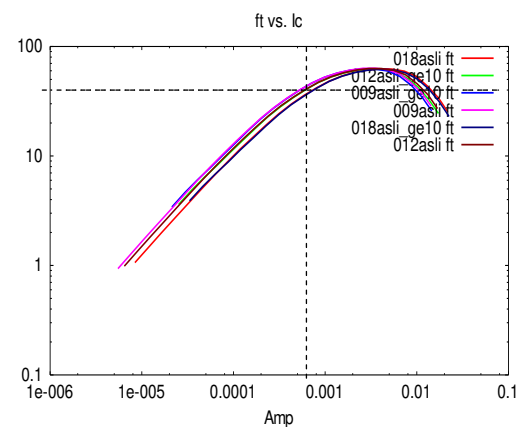
Gambar 6. Current Gain ( $\beta$ ) vs  $I_C$

### 3.3. Pengaruh area stripe emiter ( $A_e$ ) dan mole fraction ( $x$ ) terhadap, $f_T$ dan $f_{maks}$ ,

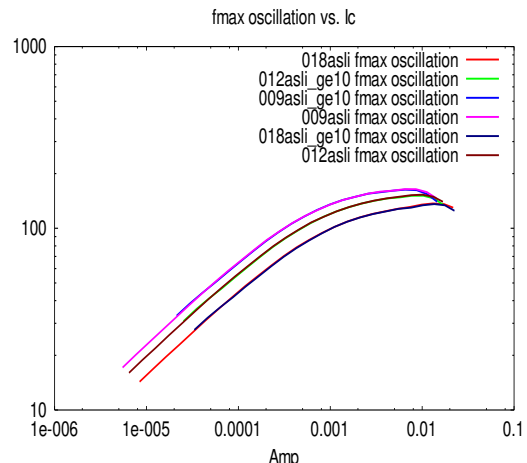
Frekuensi treshold ( $f_T$ ), sangat dipengaruhi oleh area basis pada arah vertikal dengan relasi berbanding terbalik, jika area basis arah vertikal mengecil maka nilai frekuensi treshold ( $f_T$ ) meningkat, pada riset ini lebar basis ( $w_b$ ) dibuat tetap, tetapi yang diubah adalah area *stripe* emiter ( $A_e$ ) ketika  $A_e$  diturunkan dari  $0.18 \times 10 \mu\text{m}^2$  menjadi  $0.12 \times 10 \mu\text{m}^2$  dan  $0.09 \times 10 \mu\text{m}^2$  dan *mole fraction* ( $x$ ) 0.05 serta arus kolektor ( $I_C$ ) 0.001A maka didapat frekuensi treshold ( $f_T$ ) 48 GHz,  $f_{maks}$  101 GHz,  $f_T$  52,4 GHz,  $f_{maks}$  123 GHz serta  $f_T$  56 GHz dan  $f_{maks}$  134 GHz. Kemudian *mole fraction* ( $x$ ) dinaikkan menjadi 0.1 (2kali) maka didapat nilai  $f_T$  dan  $f_{maks}$ , masing-masing  $f_T$  47,5 GHz,  $f_{maks}$  101 GHz,  $f_T$  52,2 GHz,  $f_{maks}$  123 GHz, dan  $f_T$  56,5GHz,  $f_{maks}$  142 GHz. Jadi meskipun tidak terlalu signifikan dapat dinyatakan bahwa area *stripe* emiter ( $A_e$ ) berbanding terbalik dengan nilai frekuensi treshold ( $f_T$ ) pada HBT SiGe.

$A_e \approx k.F(1/f_T \cdot f_{maks})$  saat  $I_C$  konstan untuk

hubungan *mole fraction* ( $x$ ) hubungan dengan  $f_T$  dan  $f_{maks}$  dapat mempunyai relasi;  $x_{(molefraction)} \approx k.F(f_T \cdot f_{maks})$  jadi jika  $x$  naik maka  $f_T$  dan  $f_{maks}$  cenderung naik. Gambar 7 dan 8 menunjukkan hubungan frekuensi HBT SiGe  $f_T$  dan  $f_{maks}$  terhadap area *stripe* emiter ( $A_e$ ), dan *mole fraction* ( $x$ ) pada saat  $I_C$  0.001A.



Gambar 7 . Frekuensi treshold ( $f_T$ ) vs arus kolektor ( $I_C$ ).



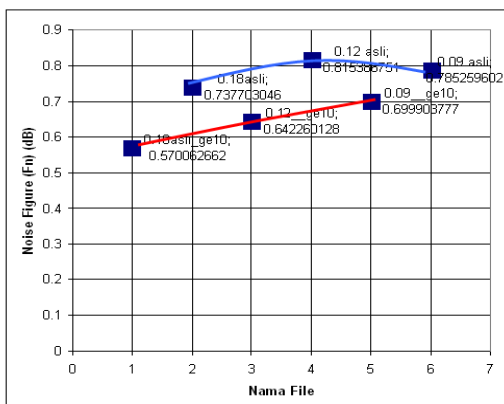
Gambar 8 . Frekuensi osc ( $f_{maks}$ ) vs arus kolektor ( $I_C$ ).

### 3.4. Pengaruh area stripe emiter ( $A_e$ ) dan mole fraction ( $x$ ) terhadap Noise Figure Minimum (Fn).

Tabel 1 menunjukkan rangkuman hasil karakteristik pemodelan HBT, pada saat VBE 0,65 Volt, yang terdiri dari 6 model dengan pengaturan area *stripe* emiter ( $A_e$ ) dan *mole fraction* ( $x$ ), model dinyatakan dengan nama file: 0.18asli,

0.12 asli dan 0.09 asli untuk *fraction mole* ( $x$ ) 0.05 dan 0.18asli\_ge10, 0.12\_ge10, 0.09\_ge10 untuk *mole fraction* ( $x$ ) 0.1. Gambar 9 menunjukkan *Noise Figure Minimum* ( $F_n$ ) untuk HBT model dengan *stripe emiter* ( $A_e$ ) dan *fraction mole* ( $x$ ) yang bervariasi, mulai ( $A_e$ )  $0.09 \times 10 \mu\text{m}^2$ ,  $0.12 \times 10 \mu\text{m}^2$  dan  $0.18 \times 10 \mu\text{m}^2$  dan *mole fration* ( $x$ ) 0.05 maka  $F_n$  akan turun sejalan dengan kenaikan  $A_e$  yaitu 0.78 dB, 0.82dB dan turun ke 0.73dB, dengan cara yang sama ketika *mole fration* ( $x$ ) dinaikkan menjadi dua kalinya ( bernilai 0.1) maka  $F_n$  , turun dari 0.69 dB, 0.64dB dan 0.57dB. Dari phenomena ini dapat diketahui relasi antara *area stripe emiter* ( $A_e$ ) terhadap *Noise Figure* ( $F_n$ ) berbanding terbalik, dan mempunyai

$$\text{relasi } F_n \approx k \cdot F \left( \frac{1}{A_e} \right)_{x,\text{konstan}}$$



Gambar 9. Noise Figure HBT Model.

### 3 KESIMPULAN.

Dari hasil analisa pemodelan di atas dapat disimpulkan bahwa; *noise figure* ( $F_n$ ) dapat diperkecil dengan memperbesar *area stripe emiter* ( $A_e$ ) dan menaikkan *mole fraction* ( $x$ ). Model HBT SiGe dengan  $x=0.1$  dan  $A_e=0.18 \times 10 \mu\text{m}^2$  memiliki  $F_n$  terkecil dibandingkan dengan  $A_e 0.12 \times 10 \mu\text{m}^2$  dan  $0.09 \times 10 \mu\text{m}^2$  yaitu 0.57 dB ; 0.64 dB dan 0.69 dB.

Hubungan *noise figure minimum* ( $F_n$ ) dengan *are stripe emiter* ( $A_e$ ) dan *mole fraction* ( $x$ ) berbanding terbalik.

### Ucapan Terima kasih.

Ucapan terima kasih DP2M Dikti yang telah memberikan bantuan dana dalam melaksanakan Penelitian Fundamental dengan kajian HBT SiGe.

### DAFTAR ACUAN

- [1] S.M Sze, "Physics of Semiconductor Devices," John Wiley and Sons 3<sup>rd</sup> Edition , 1999.
- [2] [shrum@rpi.edu](mailto:shrum@rpi.edu) , diakses Maret 2005.
- [3] Levent B. Sipahi, Thomas J Sanders, "An Investigation on Modeling and stastistical Simulation of SiGe Heterojunction Bipolar Transistor fo Characterizing their Dependence on Germanium content" Florida Institut of technology, [tsander@ee.fit.edu](mailto:tsander@ee.fit.edu), 2005
- [4] John D. Cressler, "Using SiGe HBTs for Mixed-Signal Circuits and Systems" Opportunities and Challenges School of Electrical and Computer Engineering 777 Atlantic Drive, N.W. Georgia Institute of Technology Atlanta, GA 30332-0250, Abs. 1282, 206th Meeting, © 2004 The Electrochemical Society, Inc.
- [5] Kunz V.D. dkk, "Application of Poly crystalline SiGe for gain Control in SiGe Heterojuunction, Departmdn of Electronics & Computer Science", University of Southampton, Southampton So17 1BJ, England,
- [6] Shintadewi Julian E., "Perancangan Heterojunction Bipolar Transistor Silikon Germanium untuk Memperoleh Frekuensi Cutoff dan Frekuensi Osilasi Maksimum Lebih dari 130 GHz", Disertasi tidak diterbitkan, Universitas Indonesia, 2004.
- [7] Hueting R.J.E, Charge Carrier Transport in Silicon Germanium Heterojunction Bipolar Transistors, Ph.D. Thesis Delft University of Technology, Netherland, 1997.
- [8] Juan M Lopez-Gonzales, Lusi Prat , "The importance of Bandgap Narrowing Distribution between the conduction and Valence band in Abrupt HBTs" , IEEE transaction on

- Electron devices, vol 44, No. 7 July 1997.
- [9] Pejcinovic, Branimir, dkk., "A Numerical Study of Performance Potential of  $\text{Si}_{(1-x)}\text{Ge}_x$  Pseudomorphic Heterojunction Bipolar Transistor", IEEE Transaction on Electron Devices, Vol. 39, No. 9, September 1992.
- [10] E. Shintadewi Julian<sup>1</sup>, Tossin Alamsyah<sup>2</sup>, "The Nonlinear Model of Heavy Doping Induced Bandgap Narrowing in SiGe HBT" Qiality in Research, University of Indonesia, 2006
- [11] Benedicte Le Tron, MD R Hashim, Peter Ashburn, Mirelli Mouis, Alan Chantre and Gilbert Vincent. "Determination of Bandgap Narrowing and Parasitic Energy Barriers in SiGe HBT", IEEE Transaction on Electron Devices , vol 44 , No. 5 May 1997.
- [12] K.Das, Mukul dkk, "Pefrformance Analysis of a SiGe/Si Heterojunction Bipolar Transistor for Different Ge – Composition," University of Calcuta 92 Acharya P.C road , email:nrd@jeee.org, diakses maret 2006.
- [13] Oever ,van den, L. K. Nanver1, J. W. Slotboom "Comparing the High-Frequency Performance of Box-Ge and Graded-Ge SiGe HBT's" Delft University of Technology Laboratory of Electronic Components,
- [14] Technology and Materials (ECTM) – DIMES, Feldmannweg 17, P.O. Box 5053, 2600 GB Delft, The Netherlands Tel.: +31 - 15 278 2185, Email: [loever@dimes.tudelft.nl](mailto:loever@dimes.tudelft.nl), diakses maret 2008
- [15] M.W. Hsieh, C.C. Ho, H.P. Wang, C.Y. Lee\*, G.J. Chen\*, D.T. Tang\*, and Y.J. Chan "Frequency Response Improvement of 120 GHz fT SiGe HBT by Optimizing the Contact Configurations" Department of Electrical Engineering, National Central University, Chung-li, Taiwan 32054, R. O. C, 2006

